



تأثیر مدل سازی دوجزئی پوشش پلیمری و متابولیسم دارو بر رهایش موضعی دارو توسط استنت های دارویی

سید مسعود واحدی¹، محمدصادق ولی پور^{2*}، فیلیپو دی مونته³

1- کارشناسی ارشد، مهندسی مکانیک، دانشگاه سمنان، سمنان

2- دانشیار، مهندسی مکانیک، دانشگاه سمنان، سمنان

3- دانشیار، مهندسی مکانیک، دانشگاه لاکویلا، ایتالیا

* سمنان، صندوق پستی 35131-19111، msvalipour@semnan.ac.ir

اطلاعات مقاله

مقاله پژوهشی کامل

دریافت: 15 دی 1395

پذیرش: 03 اسفند 1395

ارائه در سایت: 22 اسفند 1395

کلید واژگان:

استنت های دارویی

معادله جابجایی-نفوذ-واکنشی

اترواسکلروسیس

محیط متخلخل

فارماکوکینتیک هپارین

چکیده

از جمله مهمترین علل ناکارآمدی استنت های شریان کرونری انسداد مجدد درون استنتی می باشد. آگاهی از نحوه رهایش داروی موجود در پلیمر پوشش داده شده بر روی استنت ها اطلاعات ارزشمندی در خصوص عملکرد این گونه پروتزها در اختیار طراحان قرار می دهد. از تئوری محیط های متخلخل در مدل سازی پلیمر حاوی دارو و رگ آسیب دیده شامل لایه های مدیا و ادونتیس استفاده شده است. معادلات دیفرانسیلی با مشتقات جزئی جفت شده که توصیف کننده فارماکوکینتیک محلی داروی هپارین هستند بصورت عددی به روش حجم محدود حل شده اند. داروی موجود درون پلیمر یکبار بصورت دوفازی و یکبار بصورت تک فاز مایع مدل سازی شد و بدین صورت اهمیت تغییر فاز ارزیابی شد. با در نظر گرفتن سه مقدار برای پارامتر مشخصه تغییر فاز شدت تاثیر آن نیز بررسی شد. علاوه بر این متابولیسم دارو در لایه مدیا و خروج دارو توسط مویرگ ها و وازواوروم در مدل سازی مورد توجه قرار گرفت. نتایج تغییرات قابل توجهی در توزیع دارو در اثر وجود تغییر فاز دارو درون پلیمر را نشان می دهند. بطوری که کاهش زمان تغییر فاز دارو از جامد به مایع مسئله خوشایندی محسوب شده و نه تنها از خروج سریع دارو از پلیمر در زمان های ابتدایی جلوگیری می کند بلکه تغییرات زمانی یکنواخت تر جرم موجود در لایه مدیا و ادونتیس را به دنبال دارد. همچنین مصرف دارو توسط وازواوروم مقدار داروی موجود در جداره رگ را با کاهش شدیدی خصوصا در ادونتیس مواجه می کند.

Effect of two species modeling of polymeric coating and drug metabolism via Drug-Eluting Stents

Seyed Masoud Vahedi¹, Mohammad Sadegh Valipour^{1*}, Filippo de Monte²

1- Faculty of Mechanical Engineering, Semnan University, Semnan, Iran

2- Faculty of Industrial and Information Engineering and Economics, University of L'Aquila, L'Aquila, Italy

* P.O.B. 35131-19111, Semnan, Iran, msvalipour@semnan.ac.ir

ARTICLE INFORMATION

Original Research Paper
Received 04 January 2017
Accepted 21 February 2017
Available Online 12 March 2017

Keywords:
Drug Eluting Stents (DESs)
Advection-diffusion-reaction
Atherosclerosis
Porous media
Pharmacokinetics of Heparin

ABSTRACT

In-stent restenosis is one of the important disadvantages of Drug Eluting Stents (DESs). Awareness of how polymer coated drug is distributed by these devices provides valuable information about its efficacy. Porous media theory has been employed in the modeling of drug polymer and the injured arterial wall is composed of media and adventitia. The established coupled PDEs describing local pharmacokinetics of heparin have been solved numerically by finite volume method. Two approaches, single phase and two phases models have been chosen for coating and the effect of local mass non-equilibrium dynamics in the coating on drug distribution has been evaluated by allocating three magnitude for solid-liquid transfer time characteristic. Moreover, the effect of lost drug by vasovasorum and microcapillaries has been considered as well as cell metabolism. The results show a significant change in drug concentration distribution in the presence of phase change occurrence. Reducing in solid-liquid transfer time characteristic is associated with drastic reduction in both drug egression from polymer and washout from adventitia and has a pleasant effect. Also, consumption of drug decreases concentration level in the wall dramatically, especially in adventitia.

1- مقدمه

است. پس از اتساع استنت توسط بالون آنژیوپلاستی، به منظور اطمینان از ثابت ماندن استنت در مکان موردنظر و عدم امکان جابجایی آن در اثر ضربان قلب استنت با قطر بیشتری نسبت به قطر اصلی رگ متسع می شود [1].

یکی از روش های متداول، پر کاربرد و با کمترین تهاجم برای درمان گرفتگی عروق و مبارزه با بیماری اترواسکلروسیس¹ (تصلب شرایین) آنژیوپلاستی²

² Angioplasty

¹ Atherosclerosis

Please cite this article using:

S. M. Vahedi, M. S. Valipour, F. de Monte, Effect of two species modeling of polymeric coating and drug metabolism via Drug-Eluting Stents, *Modares Mechanical Engineering*, Vol. 17, No. 3, pp. 305-316, 2017 (in Persian)

برای ارجاع به این مقاله از عبارت ذیل استفاده نمایید:

این حین فشار زیادی به دیواره رگ وارد آمده که احتمال آسیب دیدگی و پدیدار شدن عوامل متعددی از جمله عوامل انعقادی را به دنبال دارد [1]. علاوه بر آن مهاجرت سلول های عضله صاف از لایه مدیا به اینتیمیا و ایجاد لخته در اطراف استنت مجرای عبور خون از درون شریان کرونری را مسدود می کنند. ناتوانی در کنترل قطعی این مسئله و احتمال انسداد دیواره پس از کاشت استنت بزرگترین نگرانی استفاده از استنت می باشد [2]. به منظور مبارزه با این عوامل از پلیمر به عنوان یکی از سامانه های رهایش دارویی موضعی برای بارگذاری دارو استفاده می شود که تا به امروز کارآمدترین روش به شمار می رود [3]. استنت های دارویی عملکرد قابل قبولی در کاهش انسداد مجدد درون استنتی از خود نشان می دهند. در این پروتزاها از داروهای مختلفی استفاده می شود که با طراحی کارآمد قادر هستند بصورت کنترل شده ای عمل رهایش را انجام دهند. در یک دسته بندی براساس ماهیت، این داروها به دو دسته آبدوست و آبریز دسته بندی می شوند. داروهای قابل استفاده وظایفی چون تضعیف عوامل انعقادی، مبارزه با سیستم ایمنی و تکثیر سلولی و خواص ضد توموری را دارا می باشند [4]. هپارین و دکسران از جمله داروهای آبدوستی هستند که با ضعیف و غیرفعال کردن عوامل انعقادی، ایجاد لخته خون را با چالش مواجه کرده و از شکل گیری هایپرپلازی نئواینتما جلوگیری می کنند [5,6]. موفقیت آمیز بودن این پروتزاها و طراحی هرچه بهتر آن ها نیازمند اطلاع دقیق از فارماکوکینتیک دارو است. بررسی عوامل موثر بر فرآیند و میزان تاثیر هر کدام به گونه ای که بتوان آن ها را به ترتیب اهمیت رده بندی کرد در طراحی بسیار مهم خواهد بود [7]. لازمه این امر آگاهی از توزیع غلظت و تغییرات جرم دارو در لایه های مختلف رگ و هیدروژل حاوی دارو است. تعداد کم مطالعات آزمایشگاهی و اکتفا کردن به مدل های جانوری نشان از دشوار و گاهی غیرممکن بودن دستیابی به چنین اطلاعاتی دارد [8]. بنابراین شبیه سازی های نرم افزاری می توانند به خوبی خلا بوجود آمده را پوشش دهند.

شبیه سازی دیواره رگ را می توان به سه دسته تقسیم کرد. ساده ترین روش بدون دیواره¹ است. در این روش ضخامت رگ شبیه سازی نمی شود و وجود آن تنها توسط شرایط مرزی به مسئله معرفی می شود. روش دوم روش سیال-دیواره² است. در این روش کلیه لایه های رگ بصورت یک لایه محیط متخلخل همگن شبیه سازی می شوند. در این روش از ساختار غیرهمگن رگ صرف نظر می شود. روش سوم موسوم به دیواره چندلایه³ کامل ترین روش می باشد که لایه های رگ را با بیشترین جزئیات در نظر می گیرد [9,10]. از جمله اولین شبیه سازی های فرآیند رهایش دارو از استنت های دارویی می توان به مطالعه زونینو [11] اشاره کرد. زونینو با حل معادله داری و معادله جابجایی-نفوذ در دیواره رگ توانست توزیع غلظت هپارین و پاکلیتاکسل را در مدت 6 ساعت شبیه سازی کند. در این مطالعه تفاوت قابل توجهی بین داروهای آبدوست و آبریز مشاهده شد. پونترلی و دی مونته [12] با برقراری آنالوژی میان انتقال حرارت و انتقال جرم، توزیع غلظت و تغییرات جرم دارو نسبت به زمان را به دست آوردند. با اشاره به ناچیز بودن جریان پلاسمای عبوری از عرض رگ و واکنش دارو، نفوذ غیردائم را به روش تحلیلی حل کردند. پونترلی و دی مونته [13] به طور جداگانه اثر فیلتراسیون پلاسمای واکنش دارو را بررسی کردند. برقی و همکاران [14]، مک گینتی و همکاران [8] و ژو و همکاران [15] در مطالعات خود میزان داروی شسته

¹ Wall-free² Lumen-wall³ Multi-layered structure

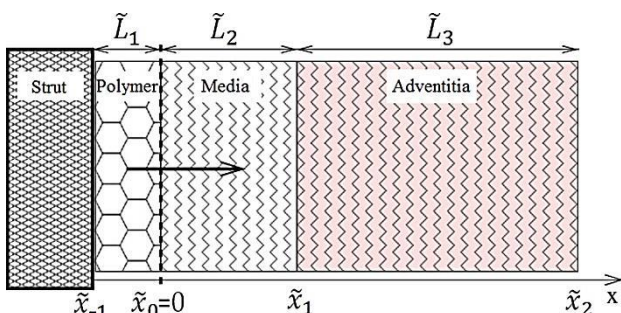


Fig. 1 Schematic representation of one-dimensional injured coronary artery [20]

شکل 1 طرحواره یک‌بعدی شریان کرونری آسیب‌دیده [20]

- سطح استرات غیر تراوا است، به طوری که پلاسما از آن عبور نمی‌کند.
- جریان پلاسما فقط در لایه مدیا وجود دارد.
- نوسانات فشار خون درون مجرا به صورت سینوسی مدل‌سازی می‌شوند.
- از دستگاه مختصات کارتزین یک‌بعدی برای دامنه محاسباتی استفاده شد.
- جداره رگ آسیب دیده به صورت دو لایه متخلخل همگن مدل می‌شود.
- پوشش حاوی دارو به صورت دوفازی مدل‌سازی می‌شود.
- واکنش دارو در لایه‌های مدیا و وازوازوروم به صورت ترم خطی در نظر گرفته شده‌است.
- پوشش فوقانی در مدل‌سازی حضور ندارد.
- خواص هیدرولیکی رگ در کلیه لایه‌ها ثابت در نظر گرفته می‌شود.

3-1- معادلات حاکم

معادلات بقای جرم در سه لایه پلیمر، مدیا و ادونتیس و معادله نفوذ فشار در لایه مدیا براساس مدل مفهومی و فرضیات ارائه شده باید حل شوند. معادلات (1)، (2) و (3) معرف تغییر فاز دارو در پلیمر می‌باشند. از آنجا که پلیمر یک‌بار بصورت دوفازی و یک‌بار بصورت تک‌فاز در نظر گرفته می‌شود. در حالت دوفازی با توجه به در نظر گرفتن تبدیل فاز در پلیمر دو معادله (1) و (2) یکی برای فاز جامد و یکی برای فاز مایع که به صورت جفت شده می‌باشند به طور همزمان حل می‌شوند [23]. در حالت تک فاز بجای معادلات (1) و (2)، تنها معادله (3) که معرف بقای جرم در پلیمر می‌باشد حل می‌شود [20]. با توجه به آن که ضخامت پلیمر در برابر دیواره رگ بسیار کم است و استرات از عبور جریان پلاسما به درون پلیمر جلوگیری می‌کند، لذا جریان درون پلیمر قابل صرف‌نظر کردن است.

$$\frac{\partial \tilde{c}_1^s}{\partial \tilde{t}} + \frac{\rho_1}{\tilde{t}_1} \left(\tilde{c}_1^s - \frac{\tilde{c}_1^f}{(k\varepsilon)_1} \right) = 0, \quad \tilde{x}_{-1} \leq \tilde{x} < 0 \quad (1)$$

$$\frac{\partial \tilde{c}_1^f}{\partial \tilde{t}} - D_1^f \frac{\partial^2 \tilde{c}_1^f}{\partial \tilde{x}^2} - \frac{(k\varepsilon)_1}{\tilde{t}_1} \left(\tilde{c}_1^s - \frac{\tilde{c}_1^f}{(k\varepsilon)_1} \right) = 0, \quad \tilde{x}_{-1} \leq \tilde{x} < 0 \quad (2)$$

$$\frac{\partial \tilde{c}_1^f}{\partial \tilde{t}} - D_1^f \frac{\partial^2 \tilde{c}_1^f}{\partial \tilde{x}^2} = 0, \quad \tilde{x}_{-1} \leq \tilde{x} < 0 \quad (3)$$

\tilde{t}_1 مشخصه زمانی تبدیل فاز است به طوری که کاهش این مقدار مویذ افزایش شدت تغییر فاز است. ρ_1 مقدار ثابتی است که نسبت تخلخل فاز سیال به جامد را نشان می‌دهد و توسط رابطه $(k\varepsilon)_1 / (1 - (k\varepsilon)_1)$ قابل محاسبه است [23].

وجود اختلاف فشار در دو سمت لایه مدیا باعث برقرار شدن جریان

پلیمر حاوی داروی آگریز را شبیه‌سازی کردند. در این مطالعه با استفاده از روش سیال-دیواره رهایش داروی پاکلیتاکسل شبیه‌سازی شد.

در این مطالعه مدل‌سازی دوفازی برای داروی موجود در پلیمر با مدل‌سازی تک‌فاز مقایسه شده و اهمیت آن ارزیابی می‌شود. به منظور بررسی میزان تأثیر این تبدیل فاز سه مقدار مختلف برای مشخصه تغییر فاز در نظر گرفته شده است. همچنین به طور همزمان اهمیت اضمحلال دارو توسط وازوازوروم از لایه ادونتیس و متابولیسم دارو توسط سلول‌های موجود در لایه مدیا مدنظر قرار گرفته شده است. در این مطالعه جریان سیال میان بافتی بصورت ضربانی در شبیه‌سازی حضور دارد. رگ آسیب‌دیده با ساختار متخلخل چندلایه به مدت 115 ساعت شبیه‌سازی می‌شود تا امکان مقایسه با نتایج پژوهش‌های موجود حفظ شود.

2- مدل مفهومی

استنت یک لوله مشبک ساخته شد از مواد مختلفی همچون فولاد ضدزنگ و آلیاژهای حافظه‌دار است. دارو با بیشترین غلظت یعنی با مقدار \tilde{C}^0 در فاز جامد درون پوشش لانه‌زنبوری ژل پلیمری (لایه \tilde{L}_1 در شکل 1) به ضخامت $5 \mu\text{m}$ بارگذاری و در نهایت بر روی سطح استنت لایه‌نشانی انجام می‌شود. پس از قرارگیری استنت در محل گرفتگی فرآیند تبدیل فاز با گذشت زمان شروع می‌شود. دارو رفته‌رفته در پلاسما (فاز سیال) حل شده و با ایجاد حفره‌هایی در پلیمر به درون رگ راه پیدا می‌کند. مقطع شریان کرونری تقریباً گرد بوده و قطر 3mm را دارا می‌باشد. می‌توان از تغییرات محیطی خواص صرف‌نظر کرده و هندسه را به دو بعد تقلیل داد. همچنین به دلیل کوتاه بودن طول استنت با صرف‌نظر از تغییرات محوری رگ می‌توان هندسه را به یک‌بعدی کاهش داد. علاوه بر این به دلیل باریک بودن نسبت ضخامت دارو به شعاع شریان کرونری [20] استفاده از دستگاه مختصات کارتزین کار منطقی است [25-21, 18, 7]. اگرچه میزان آسیب‌دیدگی رگ و عمق جراحت در عمل مشخص نیست و سبب بوجود آمدن مدل‌های مختلفی را فراهم نموده است ولی گزارشات از احتمال بالای تخریب لایه‌های اندوتلیوم، اینتیمیا و لایه الاستیک داخلی (در مجموع به ضخامت $14 \mu\text{m}$) در طی آنژیوپلاستی خبر می‌دهند [26, 1]. هندسه مدل مفهومی به گونه‌ای تنظیم شده است که پلیمر را در تماس مستقیم با مدیا قرار می‌دهد. بنابراین دامنه محاسباتی مطابق "شکل 1" از سه لایه محیط متخلخل شامل پلیمر، مدیا و ادونتیس با ابعاد و خواص هیدرولیکی متفاوت که به لحاظ ماکروسکوپی همگن هستند تشکیل شده است. لایه‌ها به گونه‌ای در کنار یکدیگر قرار گرفته‌اند که لایه نام در بازه $[\tilde{x}_{i-2} - \tilde{x}_{i-1}]$ قرار گرفته و \tilde{x}_{-1} سطح استرات را نشان می‌دهد در پایه‌ریزی معادلات حاکم از تئوری محیط‌های متخلخل استفاده می‌شود. با توجه به تأثیر اندک پوشش فوقانی در مورد داروی هپارین به منظور کاهش پیچیدگی‌های مسئله پوشش فوقانی از مدل مفهومی حذف می‌گردد [20]. در صورت استفاده از مدل دوفازی، پلیمر در هر لحظه فازهای سیال و جامد را به صورت یک‌جا در بر دارد بنابراین در هر لحظه دو پروفیل غلظت در پلیمر خواهیم داشت.

3- مدل ریاضی

در این بخش معادلات حاکم پایه‌ریزی شده بر مبنای تئوری محیط‌های متخلخل و براساس مدل مفهومی توسعه داده شده‌اند. همچنین شرایط مرزی و اولیه متناسب با فیزیک مسئله در نظر گرفته می‌شود. با توجه به مدل مفهومی می‌توان فرضیات حاکم بر مسئله را به صورت زیر خلاصه کرد.

دریچه آئورت استفاده شده است. رفتار نوسانی فشار توسط تابع سینوسی مدل سازی می شود [29].

$$\tilde{p}(\tilde{x}, \tilde{t}) = 100 + 25\sin(2\pi\tilde{t}/\tilde{T}) \quad , \quad \tilde{x} = 0 \quad (15)$$

مقدار ثابت 100mmHg در این رابطه (مقدار متوسط تابع) بیانگر میانگین فشارهای سیستولیک و دیاستولیک است و از آنجا که مدت زمان هر سیکل قلبی در حدود 1s می باشد \tilde{T} برابر 1 در نظر گرفته می شود [29].

در فصل مشترک مدیا-ادونتیس مقدار ثابت 30mmHg را به عنوان شرط مرزی در حل معادله فشار در نظر می گیریم [28,27].

$$\tilde{p}(\tilde{x}, \tilde{t}) = 30 \quad , \quad \tilde{x} = \tilde{x}_1 \quad (16)$$

در حل معادلات بقای جرم برای فاز سیال دو شرط پیوستگی شار غلظت و برابری غلظت داروی موجود در میان حفره های محیط متخلخل در هر دو فصل مشترک پلیمر-مدیا و مدیا-ادونتیس برقرار است. از آنجا که ترم جابجایی فقط در لایه مدیا وجود دارد برابری شار انتقال جرم در فصل مشترک ها با دو عبارت مختلف بیان می شوند. بدین ترتیب در فصل مشترک پلیمر-مدیا دو معادله (17) و (18) و در فصل مشترک مدیا-ادونتیس دو معادله (19) و (20) برقرار هستند.

$$\frac{\tilde{c}_1^f}{(k\varepsilon)_1} = \frac{\tilde{c}_2^f}{(k\varepsilon)_2} \quad , \quad \tilde{x} = 0 \quad (17)$$

$$-D_1^f \frac{\partial \tilde{c}_1^f}{\partial \tilde{x}} = -D_2^f \frac{\partial \tilde{c}_2^f}{\partial \tilde{x}} + (1 - \sigma_f) \tilde{u}(\tilde{x}, \tilde{t}) \tilde{c}_2^f \quad , \quad \tilde{x} = 0 \quad (18)$$

$$\frac{\tilde{c}_2^f}{(k\varepsilon)_2} = \frac{\tilde{c}_3^f}{(k\varepsilon)_3} \quad , \quad \tilde{x} = \tilde{x}_1 \quad (19)$$

$$-D_2^f \frac{\partial \tilde{c}_2^f}{\partial \tilde{x}} + (1 - \sigma_f) \tilde{u}(\tilde{x}, \tilde{t}) \tilde{c}_2^f = -D_3^f \frac{\partial \tilde{c}_3^f}{\partial \tilde{x}} \quad , \quad \tilde{x} = \tilde{x}_1 \quad (20)$$

3-3 بی بعدسازی معادلات

تا این جا متغیرهای موجود در معادلات حاکم و شرایط مرزی و اولیه همگی با قرار دادن علامت تیلد بر روی آن ها مشخص شدند. به منظور عمومی تر کردن نتایج بی بعدسازی معادلات توسط پارامترهای زیر انجام می شود. همچنین به منظور ساده کردن شکل ظاهری معادلات بدون بعد، متغیرها بدون علامت تیلد و به صورت غیرایتالیک هستند.

$$x = \frac{\tilde{x}}{\tilde{L}_2 + \tilde{L}_3} \quad , \quad L_i = \frac{\tilde{L}_i}{\tilde{L}_2 + \tilde{L}_3} \quad , \quad t = \frac{D_{\max}}{(\tilde{L}_2 + \tilde{L}_3)^2} \tilde{t} \quad , \quad c_i = \frac{\tilde{c}_i}{\tilde{C}^0}$$

$$\sigma_i = \frac{(k\varepsilon)_i}{(k\varepsilon)_{\max}} \quad , \quad u(x, t) = \frac{\tilde{u}(\tilde{x}, \tilde{t})}{U_{\text{ref}}} \quad , \quad t_1 = \frac{D_{\max}}{(\tilde{L}_2 + \tilde{L}_3)^2} \tilde{t}_1$$

$$\Gamma = \frac{\kappa}{D_{\max} \mu \lambda (k\varepsilon)_2} \quad , \quad \text{Pe} = \frac{(1 - \sigma_f) U_{\text{ref}} (\tilde{L}_2 + \tilde{L}_3)}{D_{\max}} \quad , \quad \gamma_i = \frac{D_i}{D_{\max}}$$

$$\text{Da}_i = \frac{\beta_i (\tilde{L}_2 + \tilde{L}_3)^2}{D_{\max}} \quad , \quad \text{Vv} = \frac{-\kappa \tilde{p}(\tilde{x}_1, \tilde{t})}{\mu (\tilde{L}_2 + \tilde{L}_3)^2 U_{\text{ref}}} \quad , \quad p(x, t) = \frac{\tilde{p}(\tilde{x}, \tilde{t})}{\tilde{p}(\tilde{x}_1, \tilde{t})}$$

U_{ref} ظاهر شده در بی بعدسازی معادله دارسی سرعت ثابتی است که با اعمال معادله دارسی بر شرط اولیه پروفیل فشار محاسبه می شود. عدد Da بدون بعد دامکهلر حاصل از ترم چاه موجود در لایه ادونتیس است. همچنین $\tilde{p}(\tilde{x}_1, \tilde{t})$ مقدار ثابتی است که فشار در فصل مشترک مدیا-ادونتیس می باشد. با اعمال پارامترهای بدون بعد به معادلات (1) تا (20) معادلات بدون بعد بصورت زیر بازنویسی می شوند.

$$\frac{\partial c_1^s}{\partial t} + \frac{\rho_1}{t_1} \left(c_1^s - \frac{c_1^f}{(k\varepsilon)_1} \right) = 0 \quad , \quad x_{-1} \leq x < 0 \quad (21)$$

$$\frac{\partial c_1^f}{\partial t} - \gamma_1 \frac{\partial^2 c_1}{\partial x^2} - \frac{\rho_1}{t_1} \left(c_1^s - \frac{c_1^f}{(k\varepsilon)_1} \right) = 0 \quad , \quad x_{-1} \leq x < 0 \quad (22)$$

پلاسمای می شود که تاثیر نسبتا قابل توجهی را بر سینتیک رهایش دارو دارد [20]. اثر متابولیسم دارو با سلول های موجود در لایه مدیا توسط ترم چاه مدل سازی می شود [7,12,13].

$$\frac{\partial \tilde{c}_2^f}{\partial \tilde{t}} - D_2^f \frac{\partial^2 \tilde{c}_2^f}{\partial \tilde{x}^2} + (1 - \sigma_f) \tilde{u}(\tilde{x}, \tilde{t}) \frac{\partial \tilde{c}_2^f}{\partial \tilde{x}} + \beta \tilde{c}_2^f = 0 \quad , \quad 0 \leq \tilde{x} < \tilde{x}_1 \quad (4)$$

حضور وازااوروم و مویرگ ها در لایه ادونتیس به دلیل ایجاد شرایط مصرف دارو، به صورت ترم چاه مدل سازی می شوند [8,21].

$$\frac{\partial \tilde{c}_3^f}{\partial \tilde{t}} - D_3^f \frac{\partial^2 \tilde{c}_3^f}{\partial \tilde{x}^2} + \beta \tilde{c}_3^f = 0 \quad , \quad \tilde{x}_1 \leq \tilde{x} < \tilde{x}_2 \quad (5)$$

طبیعت ضربانی جریان خون درون مجرا و تاثیر آن بر جریان پلاسمای درون دیواره رگ لازمه حل معادله نفوذ فشار است. به همین منظور ابتدا توزیع فشار در لایه مدیا توسط رابطه (6) به دست می آید [20]. پس از آن به دست آوردن توزیع فشار توسط قانون دارسی توزیع سرعت محاسبه می شود.

$$\frac{\partial \tilde{p}}{\partial \tilde{t}} = \frac{\kappa}{\mu \lambda (k\varepsilon)_2} \frac{\partial^2 \tilde{p}}{\partial \tilde{x}^2} \quad , \quad 0 \leq \tilde{x} < \tilde{x}_1 \quad (6)$$

$$\tilde{u}(\tilde{x}, \tilde{t}) = \frac{-\kappa}{\mu} \frac{\partial \tilde{p}}{\partial \tilde{x}} \quad , \quad 0 \leq \tilde{x} < \tilde{x}_1 \quad (7)$$

3-2-3 شرایط اولیه و مرزی

شرایط اولیه و مرزی متناسب با مدل مفهومی برای حل معادلات (1-7) در زیر به تفکیک بیان شده اند.

3-2-3-1 شرایط اولیه

در مدل دوفازی هپارین در ابتدا به صورت جامد با غلظت \tilde{C}_1^0 درون پلیمر قرار دارد. در این لحظه هیچ دارویی در فاز مایع درون پلیمر وجود ندارد [23].

$$\tilde{c}_1^s(\tilde{x}, 0) = \tilde{C}^0 \quad , \quad \tilde{x}_{-1} \leq \tilde{x} < 0 \quad (8)$$

$$\tilde{c}_1^f(\tilde{x}, 0) = 0 \quad , \quad \tilde{x}_{-1} \leq \tilde{x} < 0 \quad (9)$$

در مدل تک فاز در ابتدا همه دارو به صورت مایع در پلیمر ذخیره شده است.

$$\tilde{c}_1^f(\tilde{x}, 0) = \tilde{C}^0 \quad , \quad \tilde{x}_{-1} \leq \tilde{x} < 0 \quad (10)$$

در شروع فرآیند هیچ دارویی درون دیواره رگ وجود ندارد.

$$\tilde{c}_i^f(\tilde{x}, 0) = 0 \quad , \quad i = 2, 3 \quad , \quad \tilde{x}_{i-2} \leq \tilde{x} < \tilde{x}_{i-1} \quad (11)$$

توزیع خطی فشار در امتداد لایه مدیا از مقدار 100mmHg در فصل مشترک پلیمر-مدیا تا 30mmHg در فصل مشترک مدیا-ادونتیس به عنوان شرط اولیه برای حل معادله نفوذ فشار در نظر گرفته شده است. در حقیقت برای $(0, \tilde{t})$ میانگین فشار خون در حالت ضربانی در نظر گرفته شده است [20].

$$\tilde{p}(\tilde{x}, \tilde{t}) = \left(\frac{\tilde{p}(\tilde{L}_2, \tilde{t}) - \tilde{p}(0, \tilde{t})}{\tilde{L}_2} \right) \tilde{x} + \tilde{p}(0, \tilde{t}) \quad , \quad \tilde{t} = 0 \quad (12)$$

3-2-3-2 شرایط مرزی

استرات به دلیل تراوا نبودن از عبور پلاسمای جلوگیری می کند، از این رو شار غلظت عبوری دارو در فاز مایع از سطح استرات صفر در نظر گرفته می شود.

$$D_1^f \frac{\partial \tilde{c}_1^f}{\partial \tilde{x}} = 0 \quad , \quad \tilde{x} = \tilde{x}_{-1} \quad (13)$$

در انتهای لایه ادونتیس غلظت دارو صفر در نظر گرفته می شود [18].

$$\tilde{c}_3^f(\tilde{x}, \tilde{t}) = 0 \quad , \quad \tilde{x} = \tilde{x}_2 \quad (14)$$

به دلیل نزدیک بودن شریان کرونری به دریچه آئورت از رفتار فشار در

اختلاف شدید غلظت در دو سمت فصل مشترک پلیمر-مدیا تغییر ناگهانی در غلظت رخ می‌دهد. بنابراین با به‌کار بردن تصاعد هندسی با قدر نسبت‌های متفاوت تولید شبکه به‌صورت غیریکنواخت به‌گونه‌ای که تراکم سلول‌های محاسباتی در هر دو فصل مشترک بالا باشد در دستور کار قرار گرفت.

4-2- روش گسسته‌سازی

کلیه معادلات حاکم توسط روش حجم محدود گسسته شده و بر روی حجم کنترل نشان داده شده در "شکل 3" حل شدند. کلیه خواص در مرکز سلول‌ها اندازه‌گیری می‌شوند. پدیده نفوذ که شامل مشتق مرتبه دوم مکان می‌باشد توسط روش اختلاف مرکزی با دقت مرتبه دوم و ترم‌های شامل مشتق زمانی به روش کاملاً صریح مرتبه اول در معادلات گسسته شده‌اند. محدودیت این روش در گسسته‌سازی ترم زمان توسط چهار شرط همگرایی در رابطه (41) بیان می‌شود. برای اطمینان از همگرا شدن حل معادلات (21)-(26) ابعاد شبکه و گام زمانی باید به‌گونه‌ای انجام شوند که این اعداد کمتر از 0.5 باشند.

$$\text{Courant}_i = \frac{\gamma_i \Delta t}{\Delta \delta}; \quad \text{Courant}_p = \frac{\Gamma \Delta t}{\Delta \delta} \quad (41)$$

در این رابطه Δt ، Δ و δ به ترتیب گام زمانی، عرض سلول و فاصله مرکز تا مرکز دو سلول مجاور را نشان می‌دهند. به دلیل کوپل نبودن معادلات حاکم روند حل به این گونه است که برای هر گام زمانی، به ترتیب معادله نفوذ فشار (معادله (26)) و سپس معادله داری (معادله (27)) برای لایه مدیا حل می‌شوند. پس از مشخص شدن عدد پکلت، در همان گام زمانی معادلات (21) تا (25) برای محاسبه غلظت حل می‌شوند. بدین ترتیب حل مسئله با همین روند تا رسیدن به زمان 115h ادامه پیدا می‌کند [20].

4-3- اعتبارسنجی

به‌منظور ارزیابی صحت کد نوشته‌شده کلیه فرضیات استفاده شده توسط پونترلی و همکاران [23] در شبیه‌سازی در نظر گرفته شدند. بدین منظور کلیه لایه‌های رگ از اندوتلیوم تا ادونتیس شبیه‌سازی شدند و از ترم‌های جابجایی و واکنشی دارو صرف‌نظر شد. با در نظر گرفتن مقادیر یکسان برای پارامترهای حاکم بر مسئله کلیه نتایج بازتولید شدند که به‌دلیل تعداد زیاد لایه‌ها تنها تغییرات جرم در لایه مدیا مورد ارزیابی قرار گرفته شده است. "شکل 2" انطباق خوب نتایج را به‌صورت بصری نشان می‌دهد. سپس برنامه در چند شبکه با تعداد سلول‌های مختلف اجرا شد و بیشینه مقدار دارویی که توسط لایه مدیا تجربه می‌شود به‌عنوان معیار دقت کد در نظر گرفته شد. جزئیات استقلال از شبکه در جدول 2 نشان داده شده است. پس از انتخاب شبکه موردنظر، معادلات حاکم بر مسئله با توجه به مدل مفهومی ارائه شده

جدول 2 نتایج حاصل از مطالعه شبکه

Table 2 The results of grid study

اجراها	تعداد سلول‌های شبکه	
	1	2
3	50	70
130	15	20
54	20	30
84	7	10
22	300	400
1720	400	500
1650	7.2421	7.2772
7.3006	-	0.4831
0.3196	-	-

$$\frac{\partial c_1^f}{\partial t} - \gamma_1 \frac{\partial^2 c_1}{\partial x^2} = 0, \quad x_{-1} \leq x < 0 \quad (23)$$

$$\frac{\partial c_2^f}{\partial t} - \gamma_2 \frac{\partial^2 c_2^f}{\partial x^2} + \text{Pe} u(x,t) \frac{\partial c_2^f}{\partial x} + \text{Da}_2 c_2^f = 0, \quad 0 \leq x < x_1 \quad (24)$$

$$\frac{\partial c_3^f}{\partial t} - \gamma_3 \frac{\partial^2 c_3^f}{\partial x^2} + \text{Da}_3 c_3^f = 0, \quad x_1 \leq x < x_2 \quad (25)$$

$$\frac{\partial p}{\partial t} = \Gamma \frac{\partial^2 p}{\partial x^2}, \quad 0 \leq x < x_1 \quad (26)$$

$$u = VV \frac{\partial p}{\partial x}, \quad 0 \leq x < x_1 \quad (27)$$

$$c_1^s(x, 0) = 1, \quad x_{-1} \leq x < 0 \quad (28)$$

$$c_1^f(x, 0) = 0, \quad x_{-1} \leq x < 0 \quad (29)$$

$$c_1^f(x, 0) = 1, \quad x_{-1} \leq x < 0 \quad (30)$$

$$c_i^f(x, 0) = 0 \quad i = 2, 3, \quad x_{i-2} \leq x < x_{i-1} \quad (31)$$

$$p(x, 0) = (p(x_1, t) - p(0, t)) \left(\frac{L_2 + L_3}{L_2} \right) x + p(0, t), \quad 0 \leq x < x_1 \quad (32)$$

$$\gamma_1 \frac{\partial c_1^f}{\partial x} = 0, \quad x = x_{-1} \quad (33)$$

$$c_3^f(x, t) = 0, \quad x = x_2 \quad (34)$$

$$p(x, t) = 3.33 + 0.833 \sin \left(\frac{2\pi t}{12 \times 10^{-8}} \right), \quad x = 0 \quad (35)$$

$$p(x, t) = 1, \quad x = x_1 \quad (36)$$

$$\frac{c_1^f}{\sigma_1} = \frac{c_2^f}{\sigma_2}, \quad x = 0 \quad (37)$$

$$-\gamma_1 \frac{\partial c_1^f}{\partial x} = -\gamma_2 \frac{\partial c_2^f}{\partial x} + \text{Pe} u(x,t) c_2^f, \quad x = 0 \quad (38)$$

$$\frac{c_2^f}{\sigma_2} = \frac{c_3^f}{\sigma_3}, \quad x = x_1 \quad (39)$$

$$-\gamma_2 \frac{\partial c_2^f}{\partial x} + \text{Pe} u(x,t) c_2^f = -\gamma_3 \frac{\partial c_3^f}{\partial x}, \quad x = x_1 \quad (40)$$

معادلات (21) تا (40) با استفاده از خواص هیدرولیکی و مکانیکی نشان داده شده در جدول 1 قابل حل هستند. بدین ترتیب معادلات به همراه شرایط مرزی و اولیه آماده حل هستند.

4- روش حل مسئله

با توجه به نوسانی بودن فشار در فصل مشترک پلیمر-مدیا و پیچیدگی معادلات و شرایط مرزی، حل مسئله به روش تحلیلی دشوار بوده و عملاً غیرممکن می‌باشد، لذا حل معادلات به روش عددی حجم محدود توسط برنامه‌نویسی به زبان فرترن انجام می‌شود.

4-1- تولید شبکه

با توجه به شرایط اولیه حاکم بر مسئله، در ابتدای فرآیند به دلیل وجود

جدول 1 خواص هیدرولیکی و مکانیکی لایه‌های مورد مطالعه [20].

Table 1 Hydraulic and mechanical properties of all investigated layers [20].

پارامترها	لایه‌ها	
	پلیمر	مدیا
D	10^{-14}	7.7×10^{-12}
L	5×10^{-6}	200×10^{-6}
ε	0.1	0.61
k	1	1
σ_f	-	0.8836
κ	-	2×10^{-18}
β	-	3×10^{-4}
μ	-	0.72×10^{-3}
λ	-	4.5398
U_{ref}	-	1.296×10^{-7}

در این شکل همچنین دیده می شود که با کاهش t_1 سطح غلظت دارو افزایش می یابد. این روند تا اواسط دوره رهایش، یعنی 57 ساعت پس از شروع فرآیند که در "شکل 4b" نشان داده شده است حفظ می شود اما در "شکل 4c" شاهد این روند نیستیم. با دنبال کردن تغییرات پروفیل ها نسبت به زمان و مقایسه توزیع غلظت "شکل 4a، 4b و 4c" دیده می شود که با گذشت زمان هم در حالت حضور ترم واکنشی و هم در نبود آن پروفیل ها به یکدیگر نزدیک تر می شوند. بنابراین تاثیر تغییر فاز دارو به زمان بستگی دارد و در زمان آغاز فرآیند بسیار بیشتر از زمان های پایانی است.

اهمیت ترم واکنشی که معرف خروج دارو از طریق وازوازوروم و ورود دارو به درون پروتئین موجود در بافت و متابولیزه شدن آن می باشد سبب کاهش نسبتاً قابل توجهی در غلظت می شود. نکته جالب توجه در ترم واکنشی دارو این است که با افزایش t_1 و بالا رفتن سطح غلظت، فاصله بین پروفیل ها در شرایط با و بدون ترم واکنشی بیشتر می شود. به عبارت دیگر هرچه میزان غلظت دارو بیشتر باشد، شدت اثر ترم واکنشی دارو نیز بیشتر می شود. این مسئله در "شکل 4a" که توزیع غلظت در لایه مدیا 1 ساعت پس از آغاز فرآیند را نشان می دهد به خوبی دیده می شود.

در نزدیکی $x = 0$ خمیدگی کوچکی در پروفیل غلظت دیده می شود که به دلیل وجود نوسانات فشار است. در حقیقت نوسانات سینوسی فشار در فصل مشترک پوشش - مدیا باعث ایجاد نوسانات در تغییر سرعت فیلتراسیون می شود که این اثر مستقیماً به معادله بقای جرم منتقل می شود.

5-2- اثر تبدیل فاز و اضمحلال دارو بر توزیع غلظت دارو درون لایه

ادونتیس

"شکل 5a" نشان می دهد که در زمان های اولیه انتخاب مقدار بزرگ برای مشخصه زمانی تغییر فاز سبب می شود تا غلظت در لایه ادونتیس نیز مشابه با لایه مدیا در سطح پایین تری قرار بگیرد. اما با گذشت زمان و با بررسی "شکل های 5a تا 5c" دیده می شود که این روند زودتر از مدیا از بین می رود به طوری که در اواسط دوره رهایش، یعنی در زمان 57h پروفیل های غلظت یکدیگر را قطع می کنند. میزان تاثیرگذاری استفاده از مدل دوفازی در زمان های ابتدایی قابل توجه است و شدت آن با گذشت زمان و با نزدیک شدن پروفیل های غلظت به یکدیگر کاهش می یابد. "شکل 5a" نشان می دهد که در کندترین حالت تغییر فاز دارو به قدری آهسته در پلازما حل می شود که 1 ساعت پس از شروع فرآیند تقریباً هیچ دارویی وارد ادونتیس نشده است.

در خصوص اهمیت اثر اضمحلال دارو بر پروفیل غلظت لازم به ذکر است سطح غلظت مسئله تعیین کننده است به طوری که افزایش سطح غلظت دارو فاصله پروفیل ها در شرایط با و بدون ترم اضمحلال دارو را افزایش می دهد. این مسئله به خوبی در "شکل 5a" دیده می شود. بنابراین هر عاملی که سطح غلظت دارو را افزایش دهد می تواند اثر اضمحلال دارو را شدت ببخشد.

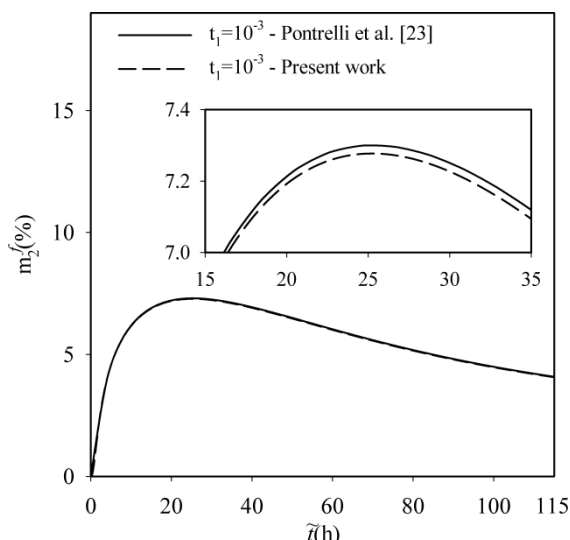


Fig. 2 Comprising mass profiles between present numerical results and analytical result of Pontrelli et al. [23] during 115h.

شکل 2 مقایسه پروفیل های جرم نتایج عددی حاضر و نتایج تحلیلی پونتروی و همکاران [23] در مدت 115 ساعت.

در بخش 2 و فرضیات استفاده شده در بخش 3 حل شدند.

5- نتایج و بحث

نتایج برنامه توسعه داده شده در پنج بخش پیش رو تقسیم شده و به تفکیک بیان می شوند. سه بخش اول مربوط به پروفیل های غلظت می باشد. اهمیت در نظر گرفتن تغییر فاز دارو در پلیمر در دو حالت شامل فرض تک فاز و مدل دقیق تر و نزدیک به واقعیت دوفازی به طور جداگانه بررسی می شود. بدین ترتیب فرض تک فاز بودن مورد ارزیابی قرار می گیرد. علاوه بر این برای مدل دوفازی سه مقدار 10^{-2} ، 10^{-3} و 10^{-8} برای مشخصه تغییر فاز (t_1) در نظر گرفته شده است تا بدین ترتیب حساسیت فارماکوکینتیک دارو به این پارامتر برآورد شود. پروفیل های غلظت در این چهار حالت در شرایط با و بدون ترم واکنشی ترسیم می شوند تا بدین ترتیب اثر اضمحلال دارو نیز بررسی شود. این هشت حالت مختلف در سه زمان 1h، 57h و 115h محاسبه و ترسیم می شوند. لازم به توضیح است که پارامتر غلظت، جرم و مختصه مکانی همگی بدون بعد هستند و نمودارهای توزیع غلظت به صورت بدون بعد ترسیم شده اند. اما در قسمت های 4-5 و 5-5 تغییرات جرم بدون بعد در مقابل زمان بعد دار ترسیم شده است.

5-1- اثر تبدیل فاز و اضمحلال دارو بر توزیع غلظت دارو درون لایه

مدیا

از "شکل 4a" به خوبی دیده می شود که در صورت استفاده از مقدار بزرگ t_1 یعنی مقدار 10^{-2} به عنوان کندترین حالت تبدیل فاز، پس از گذشت زمان 1h از شروع فرآیند تقریباً هنوز هیچ دارویی موفق به ورود به مدیا نشده است.

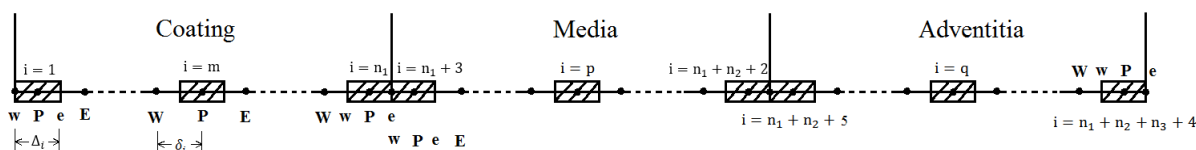


Fig. 3 Schematic representation of one-dimensional healthy coronary artery [20]

شکل 3 طرحواره یک بعدی از شریان کرونری سالم [20]

حال کاهش است. از طرفی با توجه به شرط اولیه غلظت دارو در فاز مایع مربوط به مدل دوفازی (معادله 29) که مقدار صفر را به توزیع اولیه دارو در فاز مایع نسبت می‌دهد، این مسئله نشان می‌دهد که بیشینه سطح غلظت در زمانی کمتر از 1 ساعت رخ داده است. بنابراین در هر سه مقدار در نظر گرفته

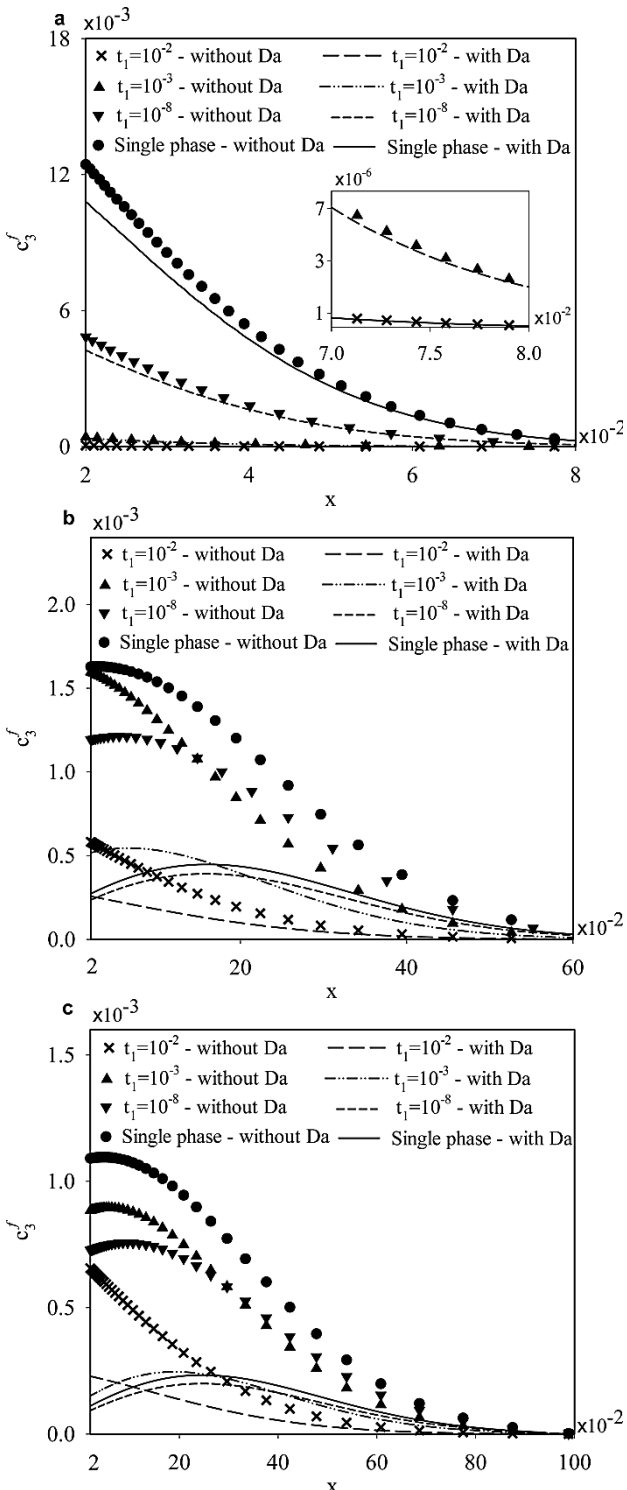


Fig. 5 Concentration distribution along adventitia layer from injured coronary artery for single phase and two phases models at a) 1h, b) 57h, c) 115h, with and without drug consumption.

شکل 5 توزیع غلظت در لایه ادونتیس از شریان کرونری آسیب‌دیده برای مدل‌های تک‌فاز و دوفازی در زمان‌های (a) 1h (ب، 57h) و (c) 115h در شرایط با و بدون اضمحلال دارو.

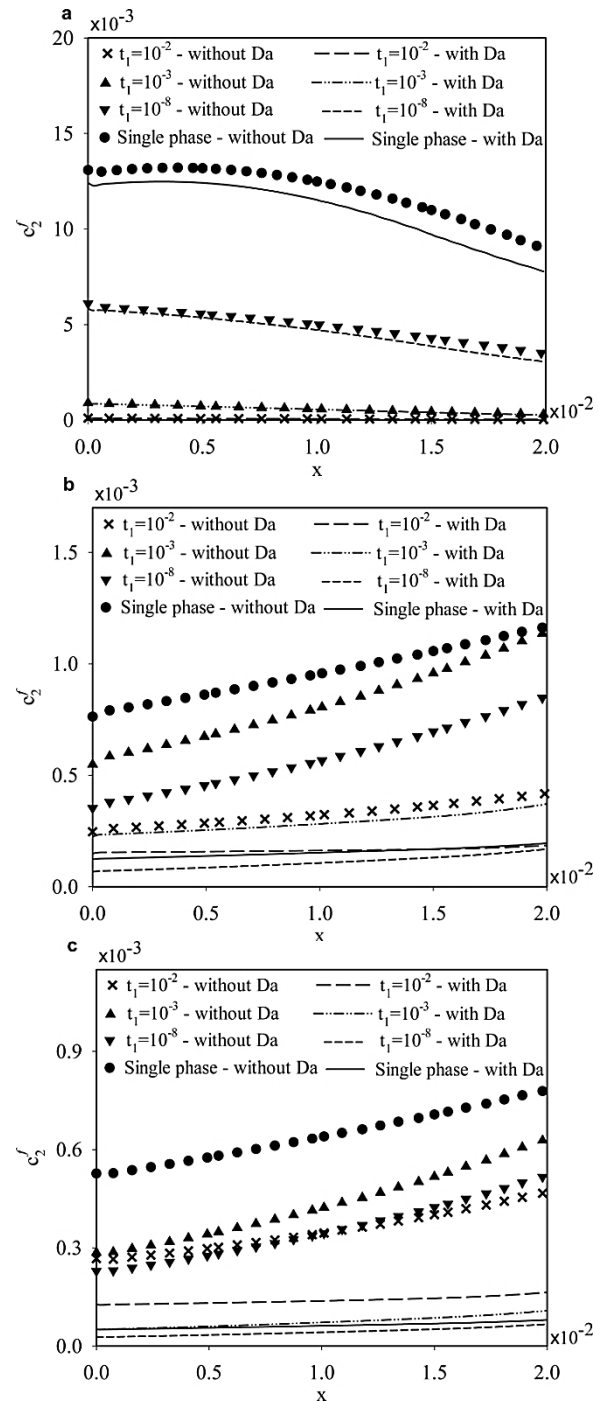


Fig. 4 Concentration distribution along media layer from injured coronary artery for single phase and two phases models at a) 1h, b) 57h, c) 115h, with and without drug consumption.

شکل 4 توزیع غلظت در لایه مدیا از شریان کرونری آسیب‌دیده برای مدل‌های تک‌فاز و دوفازی در زمان‌های (a) 1h (ب، 57h) و (c) 115h در شرایط با و بدون اضمحلال دارو.

3-5 اثر تبدیل فاز و اضمحلال دارو بر توزیع غلظت دارو درون پلیمر

پروفیل غلظت دارو در پلیمر در فاز مایع و جامد به ترتیب در "شکل‌های 6 و 7" ترسیم شده است. دارو از فاز جامد به مایع به‌طور بازگشت‌ناپذیر تبدیل می‌شود. بدین معنی که دارویی که به فاز مایع تبدیل می‌شود دیگر قادر نخواهد بود به فاز جامد تغییر فاز دهد. با دنبال کردن هر یک از پروفیل‌های موجود در "شکل 6" دیده می‌شود که سطح غلظت با گذشت زمان دائماً در

در مدل تک فاز را نیز نشان می دهد. "شکل های 6 و 7" نشان می دهند اگرچه اضمحلال دارو پروفیل های غلظت در لایه های مدیا و ادونتیس را بسیار تحت

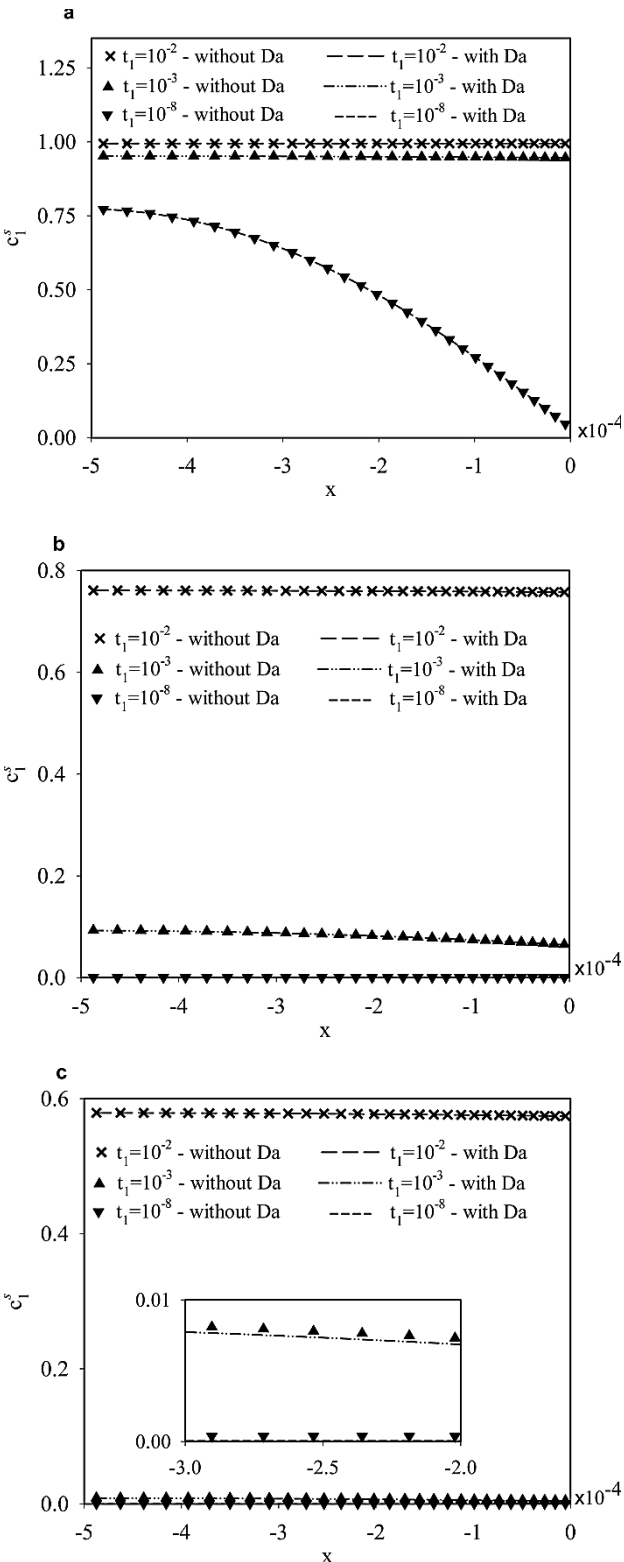


Fig. 7 Solid concentration distribution into polymeric coating for single phase and two phases models at a) 1h, b) 57h, c) 115h, with and without drug consumption.

شکل 7 توزیع غلظت در فاز جامد درون پوشش پلیمری برای مدل های تک فاز و دوفازی در زمان های (a) 1h، (b) 57h، (c) و 115h در شرایط با و بدون اضمحلال دارو

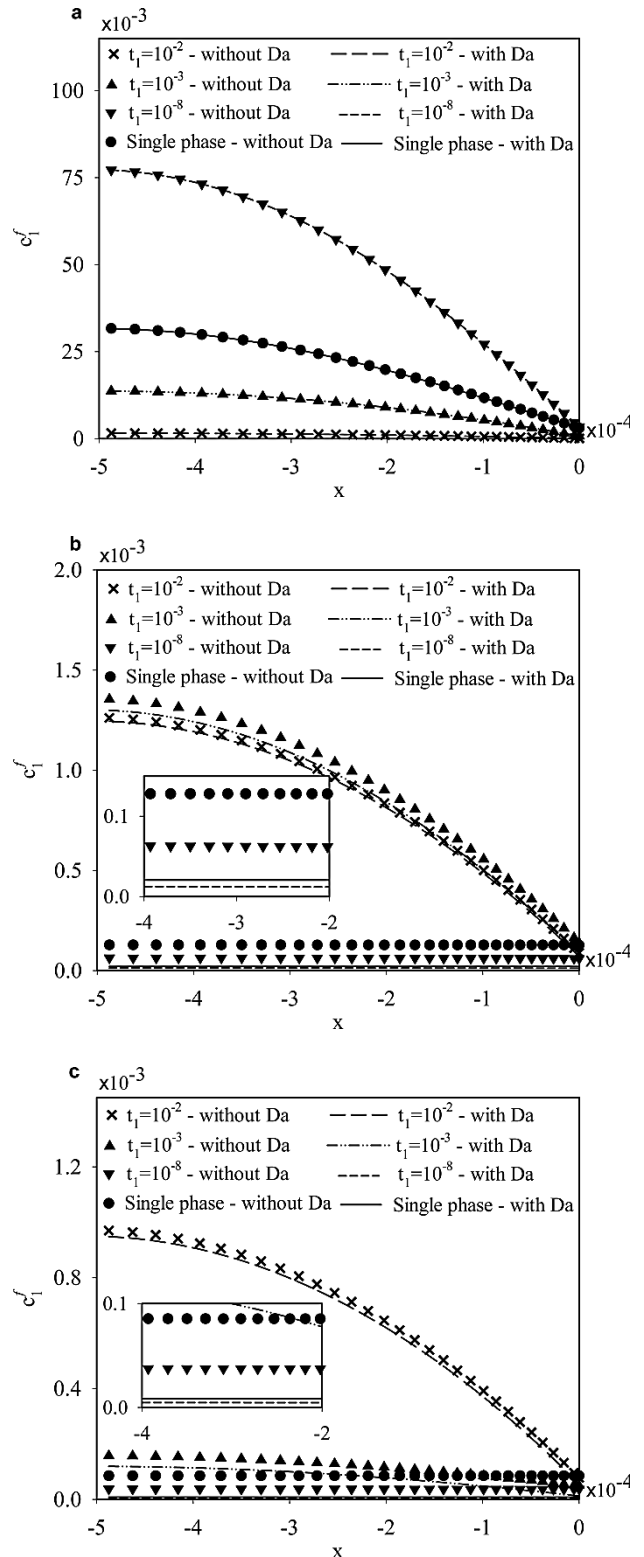


Fig. 6 Liquid concentration distribution into polymeric coating for single phase and two phases models at a) 1h, b) 57h, c) 115h, with and without drug consumption.

شکل 6 توزیع غلظت در فاز مایع درون پوشش پلیمری برای مدل های تک فاز و دوفازی در زمان های (a) 1h، (b) 57h، (c) و 115h در شرایط با و بدون اضمحلال دارو.

شده برای مشخصه تغییر فاز دارو در کمتر از 1 ساعت غلظت فاز مایع موجود در پلیمر به بیشینه مقدار خود می رسد. "شکل 6" سرعت بالای تخلیه دارو

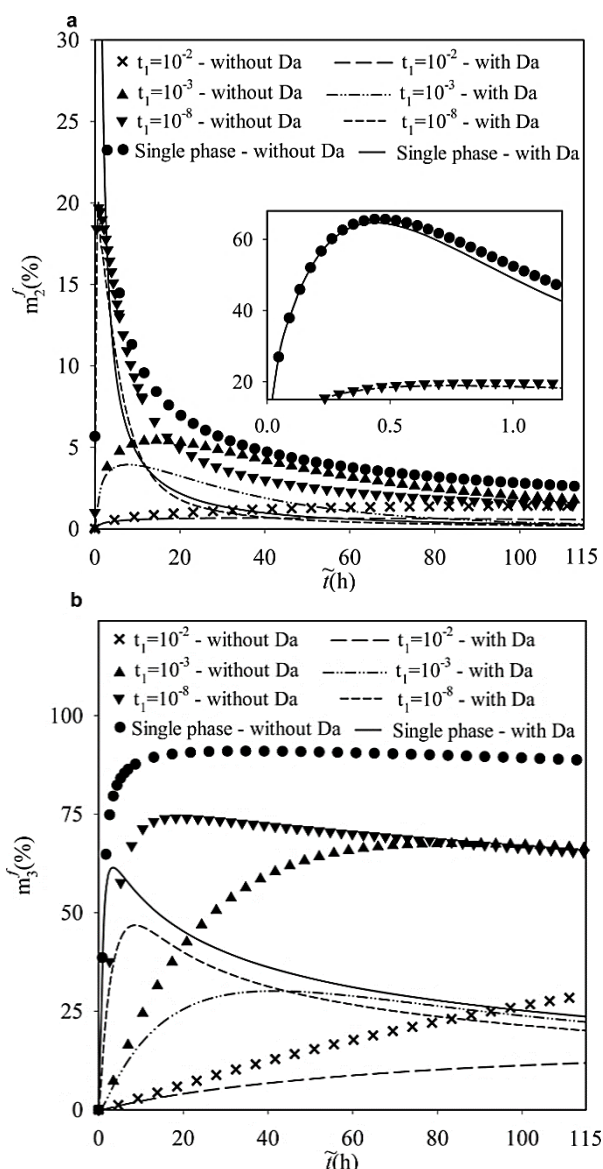


Fig. 8 Mass profiles in a) media and b) adventitia layers by passing 115h for single phase and two phases models with and without drug consumption.

شکل 8 پروفیل‌های جرم در لایه‌های (a) مدیا، (b) ادونتیس در مدت 115h برای مدل‌های تک‌فاز و دوفازی در شرایط با و بدون اضمحلال دارو.

در حقیقت همان‌طور که شکل 10a نشان می‌دهد با افزایش t_1 (کاهش سرعت تغییر فاز) دارو روند آرام‌تری را برای تخلیه دنبال می‌کند و جرم داروی در دسترس در فاز مایع برای نفوذ به لایه مدیا به آهستگی کاهش می‌یابد. همچنین از "شکل‌های 9 و 10" دیده می‌شود که اضمحلال دارو روند تخلیه پلیمر را تحت تاثیر قرار نمی‌دهد. علت آن را می‌توان در شرط مرزی تساوی شار غلظت دارو در فاز مایع در فصل مشترک پلیمر-مدیا (معادله (38)) جستجو کرد. در حقیقت از آنجا که ضریب نفوذ دارو درون پلیمر 770 برابر کمتر از لایه مدیا است، این موضوع سبب می‌شود تا شیب غلظت دارو در فاز مایع لایه پلیمر و در نزدیکی ناحیه فصل مشترک بسیار زیاد باشد؛ به طبع آن مقدار غلظت در این ناحیه و در کل زمان شبیه‌سازی بسیار پایین نگه داشته شود و بدین ترتیب تاثیر ضریب اضمحلال بر روند تخلیه پلیمر بسیار ناچیز می‌باشد.

تأثیر خود قرار داد ولی از آن‌جا که تخلخل پلیمر کمتر از لایه مدیا بوده و این نسبت در حدود 0.16 می‌باشد، تاثیر ترم اضمحلال بر توزیع غلظت دارو درون پلیمر کمتر می‌شود. نکته بسیار جالب توجه در "شکل 7" اختلاف در سرعت کاهش سطح غلظت می‌باشد. به طوری که پس از گذشت نزدیک به 5 روز هنوز غلظت دارو به نصف مقدار اولیه خود نرسیده است.

4-5 اثر تبدیل فاز و اضمحلال دارو بر تغییرات جرم دارو در دیواره رگ

در مطالعات دارویی مقدار داروی موجود در پلازما به سه بازه بی‌اثر، موثر و سمی تقسیم می‌شود [32]. بدین ترتیب طراحان باید محدوده موثر داروها را مدنظر قرار داده و سعی کنند به نحوی میزان دارو را در بازه بین سمی و بی‌اثر کنترل کنند. در مطالعات پزشکی نمودارهای "شکل 8a و 8b" که به ترتیب تغییرات زمانی جرم داروی موجود در لایه‌های مدیا و ادونتیس را نشان می‌دهند بسیار شناخته شده هستند. با انتگرال‌گیری از پروفیل‌های غلظت می‌توان این نمودارها را ترسیم کرد. نتایج نشان می‌دهد در صورت استفاده از فرض تک‌فاز بودن دارو پس گذشت تقریباً 30 دقیقه داروی موجود در لایه مدیا به بیشینه مقدار 65% می‌رسد. از سوی دیگر با ورود سریع به لایه ادونتیس به سرعت از دسترس خارج می‌شود. آنچه در "شکل 8" بسیار حائز اهمیت است تأثیر قابل توجه مشخصه تغییر فاز بر جرم موجود در جداره رگ است، به گونه‌ای که با افزایش t_1 دارو آرام‌تر وارد مدیا و ادونتیس می‌شود. نکته جالب توجه در لایه مدیا این است که در نظر گرفتن مقدار 10^{-2} برای مشخصه تغییر فاز به قدری سرعت رهاسازی را کند می‌کند که پس از گذشت 115 ساعت از شروع فرآیند هنوز جرم دارو به نقطه بیشینه نرسیده است. در حقیقت زمان رسیدن به نقطه بیشینه جرم موجود در لایه مدیا با t_1 نسبت مستقیم دارد. نمودارهای موجود در "شکل 8" بر لزوم در نظر گرفتن اضمحلال دارو در شبیه‌سازی صحنه می‌گذارند. این مسئله در "شکل 8b" به خوبی نشان داده شده است.

5-5 اثر تبدیل فاز و اضمحلال دارو بر تغییرات جرم دارو در پلیمر

میزان جرم داروی موجود در پلیمر یکی دیگر از نتایج پرکاربرد از دید متخصصان قلب، طراحان پلیمر و داروسازان می‌باشد. با انتگرال‌گیری از پروفیل‌های غلظت در امتداد پلیمر می‌توان جرم دارو را محاسبه کرد. "شکل 9" تغییرات جرم دارو در فاز جامد و "شکل‌های 10a تا 10d" تغییرات جرم دارو در فاز مایع را نشان می‌دهند. نتایج نشان می‌دهند که با افزایش t_1 شدت تخلیه دارو از درون پلیمر کاهش می‌یابد. طراحی پلیمر به گونه‌ای که مشخصه تغییر فاز آن 10^{-2} باشد باعث می‌شود پس از گذشت 115 ساعت حدود 60% از دارو همچنان درون پلیمر باقی بماند و این در حالی است که در طراحی‌های دیگر در این زمان هیچ دارویی در محل ذخیره دارو وجود نخواهد داشت.

در "شکل‌های 10a تا 10d" دیده می‌شود که در زمان‌های ابتدایی به دلیل وجود اختلاف شدید غلظت بین فازهای مایع و جامد تبدیل فاز از جامد به مایع به سرعت اتفاق می‌افتد و غلظت دارو در فاز مایع به سرعت از مقدار صفر شروع به افزایش می‌کند. این افزایش ادامه دارد تا به نقطه بیشینه‌ای می‌رسد. مقدار بیشینه داروی موجود در فاز مایع با مشخصه تغییر فاز نسبت معکوس دارد، به طوری که با افزایش t_1 میزان بیشینه دارو در فاز مایع کاهش می‌یابد.

6- نتیجه‌گیری

رفتار دارو در لایه‌های پلیمر، مدیا و ادونتیس در مدل‌های تک‌فاز و دوفازی در مجموع در چهار طراحی مختلف پلیمر مورد بررسی قرار گرفته شد. بعلاوه، اهمیت ترم واکنشی دارو درون ادونتیس که معرف متابولیسم دارو و خروج دارو است مورد ارزیابی قرار گرفت. در مدل‌سازی ریاضی از تئوری محیط‌های متخلخل استفاده شد و با به‌کار بردن مدل چندلایه طبیعت غیرهمگن بافت رگ از دید ماکروسکوپی حفظ شد. هر لایه بصورت همگن با خواص متفاوت در نظر گرفته شدند و کلیه لایه‌ها و معادله کلی نفوذ-جابجایی-واکنشی به عنوان فرمولاسیون معرف فرآیند انتقال در دیواره رگ در نظر گرفته شد.

- نتایج به‌دست آمده حاکی از آن است که با در نظر گرفتن دو مقدار 10^{-2} و 10^{-8} به‌عنوان دو مقدار حدی از شدت تغییر فاز تغییرات جرم در لایه‌های مدیا و ادونتیس در ابتدا بسیار زیاد بوده و به مرور زمان کم می‌شود. در حقیقت زمان پارامتر تعیین‌کننده در میزان تاثیر تغییر فاز و اهمیت مدل‌سازی دوفازی است.
- در نظر گرفتن تغییر فاز در شبیه‌سازی امری اجتناب‌ناپذیر است. به‌گونه‌ای که میزان بیشینه دارو در مدیا را از حدود 68% در صورت تبدیل آبی فاز (در مدل تک‌لایه) به مقدار تقریبی 1% در کندترین شدت تغییر فاز (در مدل دوفازی) تغییر می‌دهد. البته لازم به‌ذکر است که مقادیر جرم دارو به‌صورت بدون بعد ارائه شده و هر دو مقدار براساس بارگذاری یکسان دارو به‌دست آمده‌اند.
- از آن‌جا که اجتناب از تغییر سریع جرم دارو درون رگ و وجود نقطه بیشینه با ارتفاع زیاد نامطلوب است، بنابراین با طراحی پلیمر براساس شدت آهسته تغییر فاز، 10^{-2} ، می‌توان تغییرات زمانی دارو را به میزان قابل توجهی کنترل کرد. و غلظت را در محدوده درمانی نگه داشت. بدین ترتیب حساسیت دارویی استنت کاهش یافته و عملکرد بهتری خواهد داشت.
- طراحی پلیمر به‌گونه‌ای که برای مقدار کوچکی انتخاب شود اگرچه

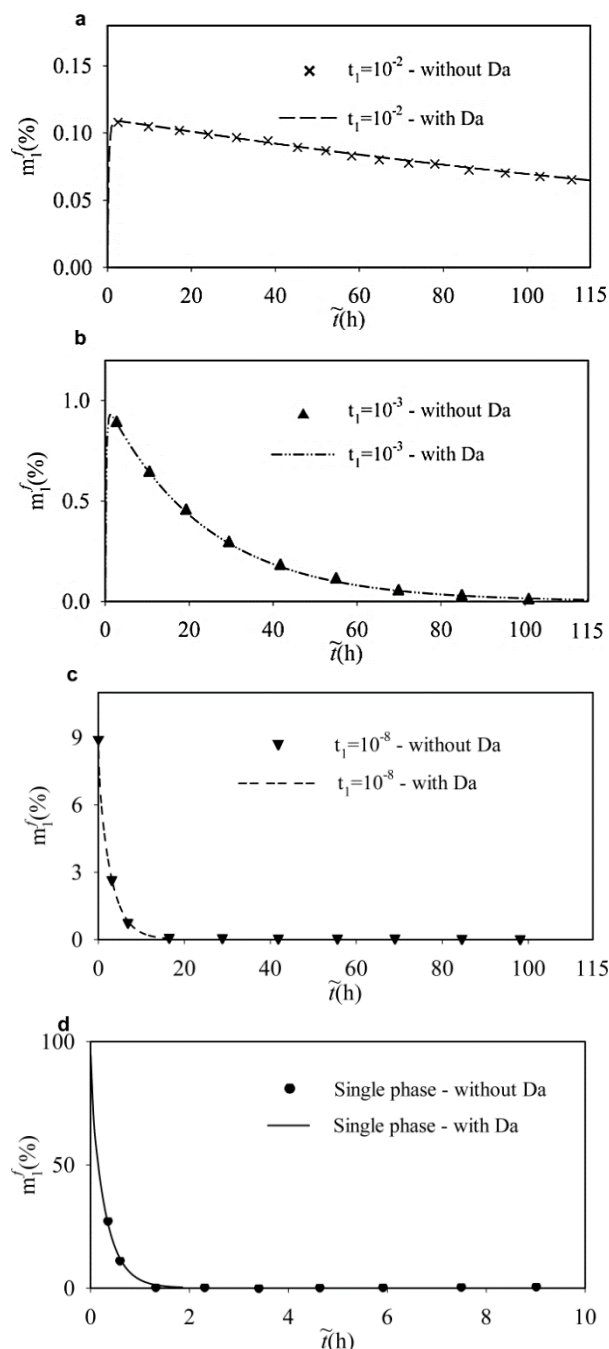


Fig. 10 Solid mass profiles in the polymeric coating by passing 115h for single phase and two phases models with and without drug consumption

شکل 10 پروفیل‌های جرم داروی موجود در پوشش پلیمری در فاز مایع طی مدت 115h برای مدل‌های تک‌فاز و دوفازی در شرایط با و بدون اضمحلال دارو

سبب ایجاد لختی زیادی در رهایش می‌شود اما می‌توان با طراحی پلیمر به‌صورت چندلایه این لختی را جبران کرد. این پیشنهاد به این شکل ارائه می‌شود که لایه اول در تماس با دیواره رگ دارای t_1 کوچک و لایه بعدی دارای t_1 بزرگی در نظر گرفته شود. بدین ترتیب داروی موجود در لایه اول با سرعت بیشتر رها شده و لختی زیاد لایه بعدی را جبران می‌کند.

- نتایج نشان می‌دهند که تاثیر وازوازوروم و واکنش دارو در سلول‌های موجود در بافت رگ که به‌صورت ترم چاه در مدل‌سازی ظاهر می‌شوند

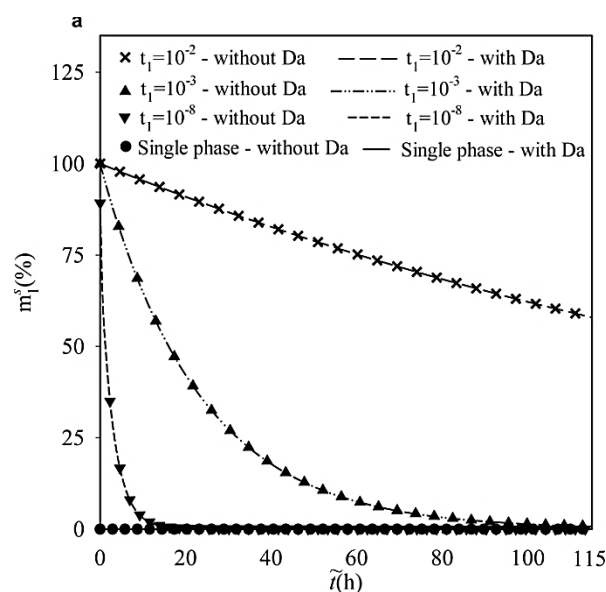


Fig. 9 Solid mass profiles in the polymeric coating by passing 115h for single phase and two phases models with and without drug consumption

شکل 9 پروفیل‌های جرم داروی موجود در پوشش پلیمری در فاز جامد طی مدت 115h برای مدل‌های تک‌فاز و دوفازی در شرایط با و بدون اضمحلال دارو

امری اجتناب‌ناپذیر است.

7- فهرست علائم

\bar{C}^0	بیشینه غلظت موجود در پلیمر حاوی هپارین (mg ml^{-1})
Courant _t	عدد کورانت در لایه نام
D	ضریب نفوذ هپارین ($\text{m}^2 \text{s}^{-1}$)
k	ضریب پاریتیشن
\bar{L}	ضخامت لایه (m)
m	جرم موجود در لایه
\bar{p}	فشار (mmHg)
P	تراوایی پوشش فوقانی (ms^{-1})
Pe	عدد پکلت
\bar{t}	زمان (s)
\bar{t}_1	مشخصه تغییر فاز دارو (s)
\bar{T}	زمان یک دوره سیکل قلب (s)
\bar{u}	سرعت فیلتراسیون (m s^{-1})
VV	پارامتر بدون بعد در معادله (27)
\bar{x}	مختصات

علائم یونانی

ε	تخلخل
κ	تراوایی دارویی (m^2)
λ	تراکم‌پذیری هم‌دمای پلاسما (Pa^{-1})
μ	لزجت پلاسما ($\text{kg m}^{-1} \text{s}^{-1}$)
γ	نسبت ضرایب نفوذ
ϕ	تراوایی بدون بعد
β	ضریب اضمحلال دارو (s^{-1})
σ	نسبت تخلخل
σ_f	ضریب بازتاب فیلتراسیون
Γ	پارامتر بدون بعد در معادله (26)

بالانویس‌ها

f	مابع
s	جامد

زیرنویس‌ها

i	لایه نام
max	بیشینه مقدار پارامتر مربوطه در بین تمام لایه‌ها

8- مراجع

- [6] C. W. Hwang, E. R. Edelman, Arterial ultrastructure influences transport of locally delivered drugs, *Circulation Research*, Vol. 90, No. 7, pp. 826-832, 2002.
- [7] S. McGinty, A decade of modelling drug release from arterial stents, *Mathematical biosciences*, Vol. 257, pp. 80-90, 2014.
- [8] S. McGinty, S. McKee, C. McCormick, M. Wheel, Release mechanism and parameter estimation in drug-eluting stent systems: analytical solutions of drug release and tissue transport, *Mathematical Medicine and Biology*, Vol. 32, No. 2, pp. 163-186, 2015.
- [9] A. Deyranlou, H. Niazmand, Y. Mesri, Blood pulsatile effect on LDL mass transport in a multilayered carotid artery with atherosclerotic plaques, *Modares Mechanical Engineering*, Vol. 14, No. 7, pp. 17-26, 2014. (in Persian)
- [10] A. Deyranlou, H. Niazmand, M.-R. Sadeghi, Investigation of effective parameters on accumulation of low-density lipoproteins based on the multilayer wall of the carotid artery, *Modares Mech anical Engineering*, Vol. 14, No. 4, pp. 27-36, 2014. (in Persian)
- [11] P. Zunino, Multidimensional pharmacokinetic models applied to the design of drug-eluting stents, *Cardiovascular Engineering*, Vol. 4, No. 2, pp. 181-191, 2004.
- [12] G. Pontrelli, F. de Monte, Mass diffusion through two-layer porous media: an application to the drug-eluting stent, *International Journal of Heat and Mass Transfer*, Vol. 50, No. 17-18, pp. 3658-3669, 2007.
- [13] G. Pontrelli, F. de Monte, Modeling of mass dynamics in arterial drug-eluting stents, *Journal of Porous Media*, Vol. 12, No. 1, pp. 19-28, 2009.
- [14] A. Borghi, E. Foa, R. Balossino, F. Migliavacca, G. Dubini, Modelling drug elution from stents: effects of reversible binding in the vascular wall and degradable polymeric matrix, *Computer Methods in Biomechanics and Biomedical Engineering*, Vol. 11, No. 4, pp. 367-377, 2008.
- [15] X. Zhu, D. W. Pack, R. D. Braatz, Modelling intravascular delivery from drug-eluting stents with biodurable coating: investigation of anisotropic vascular drug diffusivity and arterial drug distribution, *Computer methods in biomechanics and biomedical engineering*, Vol. 17, No. 3, pp. 187-198, 2014.
- [16] J. P. Abraham, J. M. Gorman, E. M. Sparrow, J. R. Stark, R.E. Kohler, A mass transfer model of temporal drug deposition in artery walls, *International Journal of Heat and Mass Transfer*, Vol. 58, No. 1, pp. 632-638, 2013.
- [17] S. M. Vahedi, M. S. Valipour, Numerical simulation of drug release through arterial wall: the investigation of hypertension, *Proceedings of The 24th International conference of Iranian Society of Mechanical Engineers (ISME)*, Yazd, Iran, April 26-28, 2016. (in Persian)
- [18] G. Pontrelli, F. de Monte, A multi-layer porous wall model for coronary drug-eluting stents, *International Journal of Heat and Mass Transfer*, Vol. 53, No. 19-20, pp. 3629-3637, 2010.
- [19] B. M. O'Connell, M. T. Walsh, Arterial mass transport behaviour of drugs from drug eluting stents, *BioMedical Engineering online*, Vol. 9, No. 15, pp. 1-16, 2012.
- [20] S. M. Vahedi, M. S. Valipour, F. d. Monte, Simulation of heparin distribution in an injured coronary artery, *Modares Mechanical Engineering*, Vol. 16, No. 11, pp. 255-265, 2016 (in Persian)
- [21] S. McGinty, S. McKee, R. M. Wadsworth, C. McCormick, Modelling drug-eluting stents, *Mathematical Medicine and Biology*, Vol. 28, No. 1, pp. 1-29, 2010.
- [22] S. M. Vahedi, M. S. Valipour, Numerical simulation of drug release through arterial wall: The investigation of double coating, *Proceedings of The 24th International conference of Iranian Society of Mechanical Engineers (ISME)*, Yazd, Iran, April 26-28, 2016. (in Persian)
- [23] G. Pontrelli, A. Di Mascio, F. de Monte, Local mass non-equilibrium dynamics in multi-layered porous media: application to the drug-eluting stent, *International Journal of Heat and Mass Transfer*, Vol. 66, pp. 844-854, 2013.
- [24] F. Bozsak, J. M. Chomaz, A. I. Barakat, G. Pontrelli, On the Role of Phase Change in Modelling Drug-Eluting Stents, *Biomedical Technology*, Vol. 74, pp. 69-80, Springer International Publishing, 2015.
- [25] G. Pontrelli, F. de Monte, A two-phase two-layer model for transdermal drug delivery and percutaneous absorption, *Mathematical Biosciences*, Vol. 257, pp. 96-103, 2014.
- [26] T. Shazly, V. B. Kolachalama, J. Ferdous, J. P. Oberhauser, S. Hossainy, E. R. Edelman, Assessment of material by-product fate from bioresorbable vascular scaffolds, *Annals of Biomedical Engineering*, Vol. 40, No. 4, pp. 955-965, 2012.
- [27] J. Ferdous, V. B. Kolachalama, T. Shazly, Impact of polymer structure and composition on fully resorbable endovascular scaffold performance, *Acta Biomaterialia*, Vol. 9, No. 4, pp. 6052-6061, 2013.
- [28] B. M. O'Connell, E. M. Cunnane, W. J. Denny, G. T. Carroll, M. T. Walsh, Improving smooth muscle cell exposure to drugs from drug-eluting stents at early time points: a variable compression approach, *Biomechanics and modeling in mechanobiology*, Vol. 13, No. 4, pp. 771-781, 2014.
- [29] S. Chung, K. Vafai, Effect of the fluid-structure interactions on low-density lipoprotein transport within a multi-layered arterial wall, *Journal of*
- [1] B. M. O'Connell, T. Mcgloughlin, M. T. Walsh, Factors that affect mass transport from drug eluting stents into the artery wall, *Biomedical engineering online*, pp. 1-16, 2010.
- [2] B. L. van der Hoeven, N. M. Pires, H. M. Warda, P. V. Oemrawsingh, B. J. van Vlijmen, P. H. Quax, M. J. Schalij, E. E. van der Wall, J. W. Jukema, Drug-eluting stents: Results, promises and problems, *International journal of cardiology*, Vol. 99, No. 1, pp. 9-17, 2005.
- [3] J. R. Weiser, W. M. Saltzman, Controlled release for local delivery of drugs: barriers and models, *Journal of Controlled Release*, Vol. 190, pp. 664-673, 2014.
- [4] R. Mongrain, I. Faik, R. L. Leask, J. Rodés-Cabau, E. Larose, O. F. Bertrand, Effects of diffusion coefficients and struts apposition using numerical simulations for drug eluting coronary stents, *Journal of Biomechanical Engineering*, Vol. 129, No. 5, pp. 733-742, 2007.
- [5] C. W. Hwang, D. Wu, E. R. Edelman, Physiological transport forces govern drug distribution for stent-based delivery, *Circulation*, Vol. 104, No. 5, pp. 600-605, 2001.

- [32] R. A. Siegel, M. J. Rathbone, Overview of controlled release mechanisms, *Fundamentals and Applications of Controlled Release Drug Delivery*, pp. 19-43, New York, Springer, 2012.
- [30] S. Chung, K. Vafai, Low-density lipoprotein transport within a multi-layered arterial wall—Effect of the atherosclerotic plaque/stenosis, *Journal of biomechanics*, Vol. 46, No. 3, pp. 574-585, 2013.
- [31] F. Bozsak, J.-M. Chomaz, A. I. Barakat, Modeling the transport of drugs eluted from stents: Physical phenomena driving drug distribution in the arterial wall, *Biomechanics and modeling in mechanobiology*, Vol. 13, No. 2, pp. 327-347, 2014.